

# بررسی رفتار سقف کامپوزیت با تیر لانه زنپوری در آتش‌سوزی

محمود یحیائی (دانشیار)

بنفشه حسن‌بور قمصری\* (دانشجوی کارشناسی ارشد)

نیما خشایار (دانشجوی کارشناسی ارشد)

دانشکده‌ی مهندسی عمران، دانشگاه صنعتی خواجه نصیرالدین طوسی

مهمشی عربان شرف، (اتلسن ۱۳۹۴)، دوری ۲، شماره ۱، ص. ۱۰۵-۱۱۱، (پادشاهیت فن)

مقاومت و سختی فولاد در حرارت‌های بالا کاهش می‌یابد و بررسی رفتار سازه‌های فولادی را در حرارت‌های بالا ضروری می‌سازد. در ایران، ساخت سازه‌های فولادی و اجرای سقف کامپوزیت بسیار مورد توجه است و در این پژوهش از نرم‌افزار اجزاء محدود ABAQUS برای مطالعه‌ی رفتار سقف کامپوزیت با تیر لانه زنپوری در دماهای بالا استفاده شده و تحت آنالیز کوپله‌ی مکانیکی - حرارتی برای درنظرگرفتن اثر نیروهای مکانیکی و بار حرارتی قرار گرفته است. بعد از صحبت سنجی نتایج مدل سازی عددی با نتایج آزمایشگاهی، مقدار تعییرمکان نمونه‌های مختلف تحت بارگذاری در حرارت‌های بالا با هم مقایسه و به بررسی ابعاد تیر در میزان مقاومت آن در آتش پرداخته شده است. نمودارهای نیرو - تعییرمکان نمونه‌ها در ترازهای حرارتی مختلف به دست آمده است. با مقایسه‌ی نمودارها در ترازهای حرارتی مختلف دیده می‌شود که سقف کامپوزیت با فولاد و بتن معمول ساختمانی امکان مقاومت در برابر حرارت‌های بالای ۸۰° درجه سانتی‌گراد را ندارد.

yahyai@kntu.ac.ir  
banafshehasanpour@sina.kntu.ac.ir  
nima.khashayar@live.com

واژگان کلیدی: مدل سازی اجزاء محدود، آتش‌سوزی، نمودار نیرو - تعییرمکان، سقف کامپوزیت، حرارت‌های بالا، تیر لانه زنپوری.

## ۱. مقدمه

ساختمان‌های قاب فولادی ممکن است در معرض آتش قرار بگیرند، اما خصوصیات فولاد ساختمانی مثل ظرفیت حمل بار و لنگر خمشی به علت کاهش سختی و همچنین مقاومت مصالح به سرعت در آتش‌سوزی کاهش می‌یابد. یک راه معمول حفاظت سازه، استفاده از کپسول آتش خاموش‌کن یا پوشاندن سطح سازه‌ی فولادی در معرض آتش‌سوزی با یک ضخامت از قبل تعیین شده از مصالح ضد حریق است، گرچه استفاده از سیستم اطفاء حریق و صفحات عایق هر دو مانع افزایش دمای فولاد می‌شود، لیکن در صورتی که فقط به کمک این مواد سازه در برابر آتش مقاوم شود، هزینه‌ی ساخت بالا می‌رود. همچنین در بسیاری موارد امکان از بین رفتن و یا عمل نکردن این پوشش‌ها و سیستم اطفاء حریق وجود دارد. امکان چنین خرایی‌هایی در زلزله به علت لرزش افزایش می‌یابد و بنا بر این عامل کنترل کننده بر روی عملکرد سازه در حین آتش‌سوزی می‌تواند خود سیستم سازه‌یی باشد. استفاده‌ی روزافزون از سقف کامپوزیت و کاربرد تیر لانه زنپوری در ساختمان‌ها موجب افزایش مطالعات درباره‌ی رفتار سازه‌ی آنها شده است. هر چند مطالعات گوناگونی درباره‌ی رفتار کشسان، خمیری و توزیع تنش در سطح مقطع تیرهای لانه زنپوری به طرق مختلف انجام شده است، اما مطالعات محدودی درباره‌ی نحوه‌ی رفتار آنها در آتش صورت گرفته

\* نویسنده مسئول

تاریخ: دریافت ۱۷/۱/۱۳۹۲، اصلاحیه ۱/۷/۱۳۹۲، پذیرش ۱۳/۷/۱۳۹۲.

### ۳. مدل سازی مصالح در دمای اتاق و دماهای بالا

مدل سازی مصالح با توجه به رفتار کشسان خمیری تیرها در طول آزمایش های مختلف صورت گرفته است تا بتوان تغییر شکل های غیر خطی مصالح را به درستی در نظر گرفت. برای کاهش خصوصیات سختی و مقاومت فولاد و بنیز از ضرایب کاهشی ذکر شده در آئین نامه ای اروپا (Euro code) استفاده شده است.<sup>[۱۴]</sup> در جدول ۱، ضرایب کاهشی برای خصوصیات اصلی فولاد و در جدول ۲، نیز ضرایب کاهشی برای خصوصیات اصلی بنیز بر اساس آئین نامه ای اروپا ارائه شده است.

### ۴. اعمال بار و شرایط مرزی

با توجه به اهمیت شرایط مرزی و به منظور مدل سازی واقع گرایانه و هر چه دقیق تر ممکن است که تکیه گاه های موجود در دو انتهای تیر، که طبق مدل آزمایشگاهی و سطح مقطع متقاضی بودند، در مدل اجزاء محدود نیز به همان صورت شبیه سازی شوند. لذا، ۲ قطعه ای هرمی مشابه شرایط آزمایش در دو انتها مدل شده اند. این تذکر لازم است که ۲ قطعه ای هرم از پایین در هر دو جهت گیردار شده اند و نکته دیگر در اینجا بحث کار برد المان های تامسی در تحلیل است. برای آنکه بتوان رفتار هم زمان بنیز و آرماتور و همچنین رفتار تامان دال و تیر را مدل سازی کرد، تماس و چسبندگی بین آرماتور و بنیز و بال تیر به طور دقیق مدل سازی شده است. برای تماس و چسبندگی آرماتور های درون دال از قید محصور شدگی<sup>۱</sup> شبکه ای آرماتور درون بنیز استفاده شده است. قید محصور شدگی، که از کتابخانه آبکوس انتخاب شده است، برای محصور کردن آرماتورها درون بنیز به کار می رود. این قید رابطه هندسی بین نقاط محصور شده و فضای محصور کننده را می یابد و درجه ای آزادی انتقالی اعضاء محصور شده را مطابق با نقطه ای متناظر روی محیط محصور کننده قرار می دهد. در این اعضاء فقط درجه های آزادی چرخشی مستقل افعال هستند. برای تماس بین بنیز و بال تیر و عدم لغزش بنیز به طور دقیق مدل سازی گل میخ ها از قید tie استفاده شده است. این قید در طول شبیه سازی دو صفحه ای موردنظر در اینجا صفحه ای بال بالا بی تیر و صفحه ای زیرین دال، را به هم می بندد و درجات آزادی دو صفحه را یکسان می کند و بدین ترتیب حرکت نسبی میان آنها را محدود می کند و مانع لغزش دال روی تیر می شود.

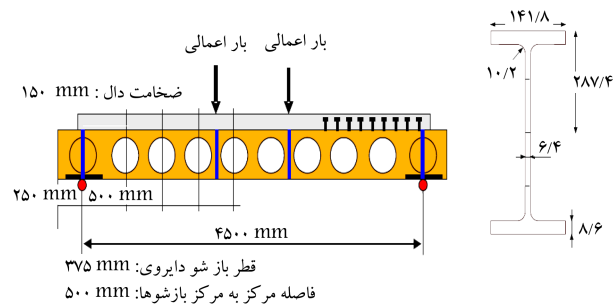
### ۵. صحبت سنجی مدل اجزاء محدود با نتایج آزمایشگاهی

با توجه به مدل هایی که در این پژوهش مورد بررسی قرار گرفته است، دو نوع ماده یعنی بنیز و فولاد در طول این پژوهش مورد استفاده قرار گرفته است. به منظور بیان رفتار ساختاری بنیز و فولاد مصرفی در تیر از المان C3D8 استفاده شده است. این المان مکعبی، ۸ گره و تابع شکل خطی دارد. هر گره المان فوق سه درجه آزادی انتقالی در جهات z و y و x دارد، که برای المان کلا ۲۴ درجه ای آزادی فراهم می سازد. این المان قابلیت اعمال تغییر شکل های خمیری و تغییر شکل ها و کرنش های زیاد را دارد. برای شناسایی مش بندی مناسب سعی شده است از یک روال منطقی و شناخته شده بهره گرفته شود. برای این منظور آزمون هم گرایی<sup>۲</sup> طرح شده است. در این آزمون، حل مسئله از یک شبکه ای درشت آغاز و در هر گام، مش ریزتر شده است. برای المان های یک بعدی، یک المان در مش ریزتر به دو المان و برای حالت دو بعدی و سه بعدی به ترتیب یک المان به ۴ و ۸ المان تقسیم

از ریزابی رفتار المان های سازه ای با گیرداری واقعی تحت یک آتش طبیعی بود.<sup>[۲]</sup> همچنین در پژوهش دیگری برای بررسی تیرهای با بازشوی دایروی، آزمایش هایی روی تیرهای یک ساختمان یک طبقه انجام شد تا اثرات نیروی محوری و بره مکشش اجزاء سازه ای را در مقاومت این تیرها بررسی کنند.<sup>[۲]</sup> تعدادی آزمایش مقایس کامل نیز برای بررسی رفتار سازه های فولادی تحت بار آتش در ایران انجام شده است، که عمدۀ این آزمایش ها روی اتصالات دارای نیشی بالا و پایین، با و بدون نیشی جان با پیچ و نیز با جوش صورت گرفته است.<sup>[۶]</sup> همچنین اتصالات خورجینی در آتش سوزی نیز مورد آزمایش قرار گرفته است.<sup>[۷]</sup> پژوهشگرانی نیز به مدل سازی اتصال خورجینی و اتصال پیوسته ای تیر به ستون و بررسی رفتار دال های کامپوزیت تحت دمای بالا با درنظر گرفتن عوامل مختلف فیزیکی و هندسی پرداخته اند.<sup>[۱۰-۸]</sup> همچنین در سال ۲۰۰۷ پژوهش هایی روی عملکرد تیرهای کامپوزیت (به طول ۴۵۰۰ میلی متر) با باز شوی دایروی انجام و رفتار آنها در مطالعات آزمایشگاهی و عددی بررسی و آزمایش با مقایس کامل انجام شده است. برای این منظور دو نوع سطح مقطع متقاضی و نامتقاضی به کار رفته است: نمونه اول (A1) تماماً از پروفیل T شکل (۳۹ × ۳۹) (UB406 × ۱۴۰) با عمق تمام شده ۵۷۵ میلی متر و نمونه ای (B1) با دو پروفیل متقابل T شکل، برای بال بالا (۳۹ × ۱۴۰ × ۳۹) (UB406 × ۱۴۰) و بال پایین (۵۲ × ۱۵۲) (UB457 × ۱۵۲) با عمق تمام شده ۶۳۰ میلی متر ساخته شده اند و هر تیر تحت دو نوع مختلف بار متربکن؛ در دمای اتاق و دماهای بالا مورد بررسی قرار گرفته و مشاهده شده است که به علت کمانش جان بین بازشوها و همچنین نایابداری ناشی از افت ناگهانی سختی و مقاومت در تیرها، گسیختگی تیر رخ می دهد.<sup>[۱۱]</sup> در این مطالعه، نمونه نخست انتخاب و به صورت دلخیز مدل سازی شده است. در انتها، نتایج حاصل از تحلیل با نتایج آزمایش صحبت سنجی شده است.

### ۲. مشخصات نمونه ای آزمایشی

مشخصات نمونه ای انتخابی مطابق مدل آزمایشگاهی علی نجای و همکاران،<sup>[۱۱]</sup> در نظر گرفته شده و در شکل ۱، جزئیات آن نشان داده شده است. مقاومت مصالح بنیز مورد استفاده در دال برابر با ۳۵ مگا پاسکال و مقاومت آرماتور موجود در آن ۴۶۰ مگا پاسکال بوده است. ضخامت دال بنیز ۱۵۰ میلی متر و ارتفاع گل میخ ها ۱۲ سانتی متر بوده و در فواصل ۱۵۰ میلی متری از هم به کار رفته و مقاومت جاری شدن آنها ۲۲۷ مگا پاسکال ارزیابی شده است. دمای کوره مطابق منحنی های ISO834 و ASTME119<sup>[۱۲]</sup> افزایش یافته است.



شکل ۱. نمونه ای آزمایشگاهی برای صحبت سنجی.<sup>[۱۱]</sup>

جدول ۱. ضرایب کاهش خصوصیات اصلی فولاد در بیورو کد ۳.

ضرایب کاهشی	دما ( $\theta_a$ ) (°C)		
مدول خمیرسانی ( $k_E, \theta$ )	حد نسبت ( $k_p, \theta$ )	مقاومت تسلیم ( $k_y, \theta$ )	
۱	۱	۱	۲۰
۱	۱	۱	۱۰۰
۰,۹	۰,۸۰۷	۱	۲۰۰
۰,۸	۰,۶۱۳	۱	۳۰۰
۰,۷	۰,۴۲	۱	۴۰۰
۰,۶	۰,۳۶	۰,۷۸	۵۰۰
۰,۳۱	۰,۱۸	۰,۴۷	۶۰۰
۰,۱۳	۰,۰۷۵	۰,۲۳	۷۰۰
۰,۰۹	۰,۰۵	۰,۱۱	۸۰۰
۰,۰۶۷۵	۰,۰۳۷۵	۰,۰۶	۹۰۰
۰,۰۴۵	۰,۰۲۵	۰,۰۴	۱۰۰۰
۰,۰۲۵	۰,۰۱۲۵	۰,۰۲	۱۱۰۰
۰	۰	۰	۱۲۰۰

جدول ۲. ضرایب کاهش خصوصیات اصلی بتن در بیورو کد ۳.

$\varepsilon_{cu1,\theta}$	$\varepsilon_{c1,\theta}$	ضرایب کاهش مقاومت [ $k_c(\theta_c)$ ]	دما ( $\theta_c$ ) (°C)
		سبک آهکی سیلیسی	
۰,۰۲	۰,۰۰۲۵	۱ ۱ ۱	۲۰
۰,۰۲۵	۰,۰۰۴	۱ ۱ ۱	۱۰۰
۰,۰۲۵	۰,۰۰۵۵	۱ ۰,۹۷ ۰,۹۵	۲۰۰
۰,۰۲۷۵	۰,۰۰۷	۱ ۰,۹۱ ۰,۸۵	۳۰۰
۰,۰۳	۰,۰۱	۰,۸۸ ۰,۸۵ ۰,۷۵	۴۰۰
۰,۰۳۲۵	۰,۰۱۵	۰,۷۶ ۰,۷۴ ۰,۶	۵۰۰
۰,۰۳۵	۰,۰۲۵	۰,۶۴ ۰,۶ ۰,۴۵	۶۰۰
۰,۰۳۷۵	۰,۰۲۵	۰,۵۲ ۰,۴۳ ۰,۳	۷۰۰
۰,۰۴	۰,۰۲۵	۰,۴ ۰,۲۷ ۰,۱۵	۸۰۰
۰,۰۴۲۵	۰,۰۲۵	۰,۲۸ ۰,۱۵ ۰,۱۰۸	۹۰۰
۰,۰۴۵	۰,۰۲۵	۰,۱۶ ۰,۰۶ ۰,۰۴	۱۰۰۰
۰,۰۴۷۵	۰,۰۲۵	۰,۰۴ ۰,۰۲ ۰,۰۱	۱۱۰۰
-	-	۰ ۰ ۰	۱۲۰۰

مقادیر  $\varepsilon_{c1,\theta}$  و  $\varepsilon_{cu1,\theta}$  فقط در بتن معمولی منظور می‌گردند.

برای صحبت‌سنجی اعتبار مدل‌های اجزاء محدود، نتایج آنها با نتایج حاصل

از آزمون‌های آزمایشگاهی علی نجایی و همکاران<sup>[۱]</sup> در شکل ۲ مقایسه شده است.

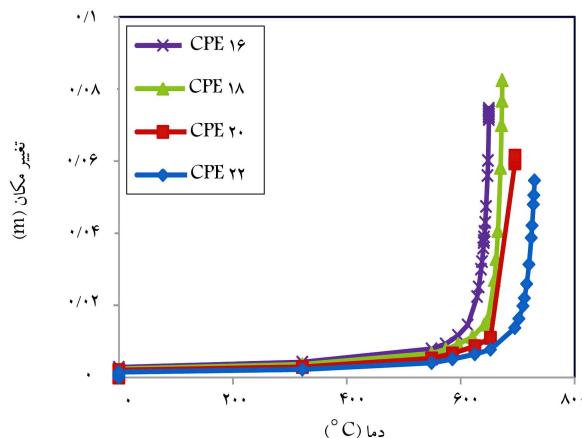
مشاهده می‌شود که مختصی‌ها تا حدود ثانیه‌ی ۲۵۰۰ با هم اختلاف کمی دارند، چون در این زمان با توجه به مختصی ISO۸۳۴ که در شکل ۳ آمده است، دما در حدود ۹۰ درجه‌ی سانتی‌گراد است که در آن مقاومت فولاد و بتن به ترتیب به ۶ و ۸ درصد مقاومت اولیه (در دمای اتاق) و مدول کشسانی فولاد نیز به ۶,۷۵٪ مقدار

شدیداند. مدلی مناسب است که ریزشدن مش در جواب‌های نهایی تغییری کمتر از یک مقدار مشخص (در این تحقیق ۱٪) را ایجاد کند. برای این پژوهش پارامتر

همگرایی تغییرمکان در نقطه‌ی میانی تیرهاست. در تمام طول حل مسئله، این پارامتر برای هر دو مدل متواالی قرائت و مقایسه شده است. در نهایت ابعاد مش به کارفته بعد از مقایسه‌ی نتایج حاصل از مدل‌سازی، ۵۰ میلی‌متر انتخاب شده است، که شامل ۴۸۰۰ المان در بخش دال، ۱۰۸۸ المان آرماتور و ۶۶۵۶ المان در قسمت تیر لانه زنبوری بوده است.

جدول ۳. مشخصات مصالح به کاررفته در مدل‌سازی.

۲۰۰۰۰۰ MPa	مدول کشسانی فولاد
۲۰۰۰۰ MPa	مدول کشسانی بتن
۲۴۰ MPa	تنش جاری شدن فولاد
۲۵ MPa	مقاومت ۲۸ روزه بتن



شکل ۴. نمودار تغییر مکان وسط دهانه - دما در نمونه‌ها.

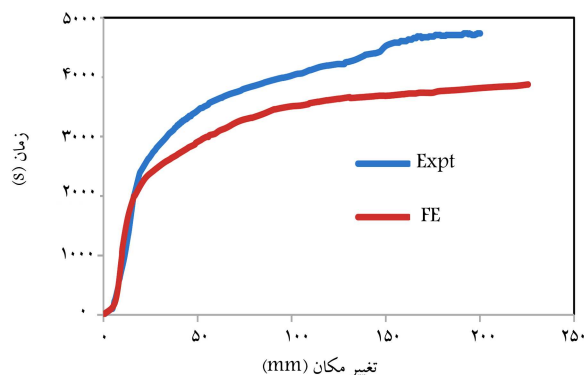
#### ۱.۶. معرفی نمونه‌ها

در این پژوهش ۴ نمونه مورد بررسی قرار گرفته‌اند. در کلیه‌ی نمونه‌ها دال بتنی به ضخامت ۱۵۰ میلی‌متر و یک لایه‌ی مش از جنس آرماتور ۱۰ به فواصل ۲۰۰ میلی‌متری ساخته شده است. طول دال بتنی ۵۰۰ میلی‌متر و عرض آن ۱۲۰۰ میلی‌متر است. ۴ تیر لانه زنبوری به شماره‌های CPE۲۰۰، CPE۱۸۰، CPE۱۶۰ و CPE ۲۲ با طول ۴۵۰ میلی‌متر به عنوان تیر لانه زنبوری زیر دال بتنی در نظر گرفته شده‌اند. مشخصات مصالح در جدول ۳ آمده است.

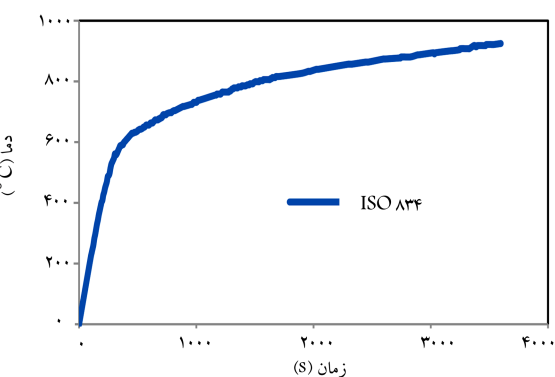
#### ۲.۶. بررسی روند تغییر مکان وسط دهانه‌ی تیر کامپوزیت

از آنجا که نمونه‌ها تحت بار حرارتی و مکانیکی قرار دارند، از آنالیز کوپله مکانیکی - حرارتی بهره گرفته شده است تا اثرات بارهای مختلف را در گام‌های مجرزا در نظر بگیرد. بدین منظور ابتدا در یک گام با راثبی روی سقف کامپوزیت قرار گرفته و تحلیل استاتیکی غیرخطی بر روی نمونه‌ها انجام و در گام دیگر رفتار تیر تحت آتش سوزی تعیین شده است. در شکل ۴، نتایج حاصل از تحلیل‌ها در قالب نمودار تغییر مکان وسط دهانه - دما ارائه شده است.

با بررسی نتایج حاصل از تحلیل می‌توان گفت که تمامی نمودارها کمایش روند تغییرات مشابهی دارند. روند تغییرات بدین نحو است که تا دمایی در حدود ۵۵ درجه، روند افزایش تغییر مکان‌ها با شیب کمی دارد و بالا‌فصله با افزایش حرارت بیشتر از این مقدار، تغییر مکان‌ها با شیب تند قابل توجهی افزایش می‌بابند. این روند نشان‌دهنده‌ی این مطلب است که بعد از این محدوده‌ی سختی تیر و دال بتنی به شدت کاهش می‌باید و نتیجتاً توانایی تیر کامپوزیت برای حمل بار در برابر آتش به مقدار قابل توجهی کاهش و تغییر مکان‌ها به شدت افزایش می‌بایند. همچنین دیده می‌شود که با بالارفتن شماره‌ی تیر، میزان تغییر مکان وسط دهانه کاهش می‌باید. علت این مسئله این است که هم‌زمان با افزایش نمره‌ی تیر، میزان



شکل ۲. مقایسه‌ی نتایج آزمایشگاهی با مدل اجزاء محدود.

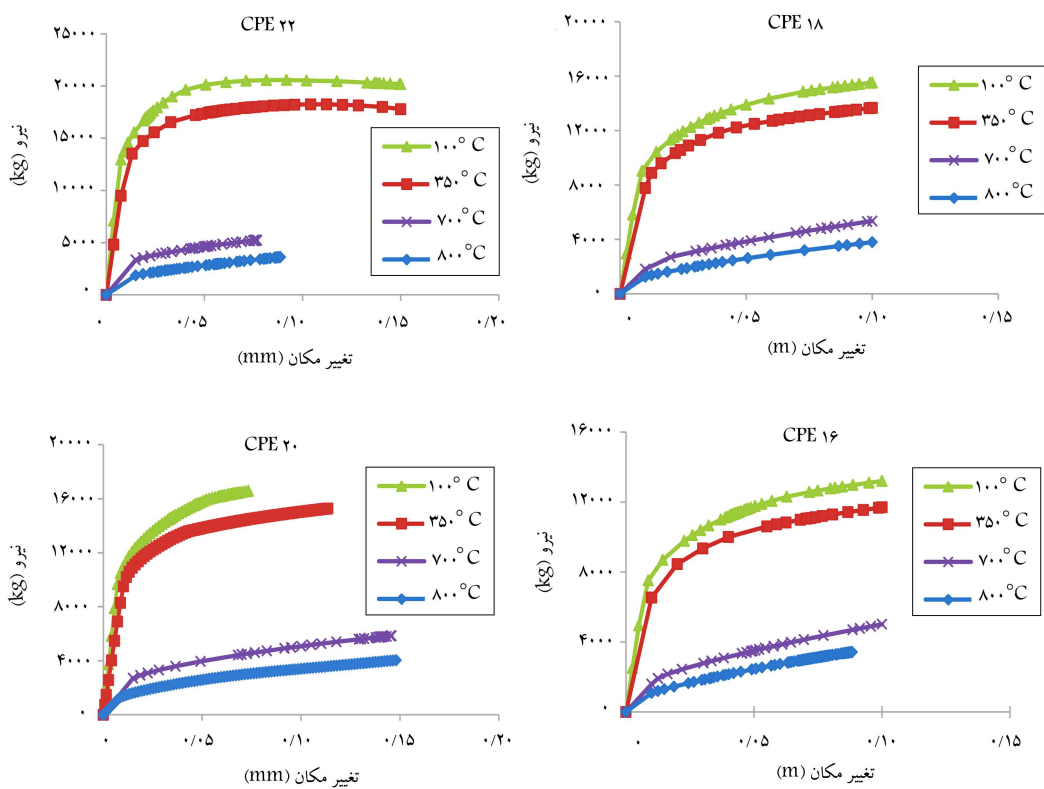


شکل ۳. منحنی آتش استاندارد ISO ۸۳۴.

اولیه رسیده است. همان‌طور که در جداول ضرایب کاهشی فولاد و بتن آمده است، با افزایش دما این مقادیر به سمت صفر میل می‌کنند و در عمل مقاومت و سختی خود را کاملاً از دست می‌دهند، لذا این روند موجود در منحنی زمان - تغییر مکان برای بررسی رفتاری سازه‌های معمولی در آتش سوزی کفایت می‌کند. علم تفاوت‌های موجود می‌تواند پیروی حرارت کوره‌ی آتش آزمایش از منحنی آتش طبیعی همراه با فاز سردشدنگی و پیروی حرارت نمونه‌ی عددی از منحنی آتش استاندارد باشد. همچنین ساده‌سازی‌های عددی در مدل‌سازی، عدم مدل‌سازی نواحی آزمایش‌ها، تنش‌های پسماند، مدل‌های رفتاری غیرخطی مصالح در دماهای بالا و یا تفاوت در ضرایب کاهش مقاومت و سختی در بتن و فولاد با واقعیت می‌تواند علم‌های ثانویه به شمار رود.

#### ۶. مدل‌سازی تیرهای کامپوزیت لانه زنبوری در آتش

مهندسی اینمی در برابر آتش سازه‌یی، دو مطلب عمده یعنی تعیین زمان دوام سازه در حین آتش سوزی (به منظور امکان تخلیه سازه و انجام عملیات اطفاء حریق) و نیز طراحی اعضاء سازه‌یی و سازه‌های مقاوم در برابر آتش را مورد توجه قرار می‌دهد. به منظور دستیابی به این دو خواسته، دو جنبه‌ی مختلف از اعضاء سازه‌یی: ۱. اطلاع از رفتار عضو سازه‌یی در حین آتش سوزی، ۲. اطلاع از کاهش ظرفیت آن عضو در ترازهای مختلف حرارتی موردن توجه قرار گرفته است. در ادامه، برای روشن شدن مسئله، این دو جنبه و این دو نیاز موجود در تحلیل و طراحی حرارتی به طور کامل مورد بررسی قرار گرفته‌اند.



شکل ۵. نمودارهای تغییرمکان - نیرو در ترازهای مختلف حرارتی.

نشان دهنده کاهش ظرفیت مقاومت و سختی تیرهای کامپوزیت با افزایش حرارت است، تا آنجا که بیشینه‌ی نیرو در حرارت  $80^{\circ}\text{C}$  درجه، تقریباً  $2/2$  این مقدار در حرارت  $20^{\circ}\text{C}$  درجه است.

نکته‌ی قابل توجه دیگر آن است که در حرارت  $80^{\circ}\text{C}$  درجه‌ی سانتی‌گراد، ظرفیت هر  $4$  نمونه تا حد بالایی به یکدیگر شباهت پیدا کرده است. علت این مسئله آن است که سختی فولاد معمولی ساختمانی در دماهای  $80^{\circ}\text{C}$  الی  $90^{\circ}\text{C}$  درجه‌ی سانتی‌گراد به سمت صفر میل می‌کند و کلیه‌ی فشار توسط دال بتی تحمل می‌شود. دال بتی هم که در هر  $4$  نمونه وضعیت یکسانی دارد، پس هر  $4$  نمونه رفتار تقریباً مشابهی دارند. پس می‌توان این طور نتیجه‌گرفت که در یک سیستم ترکیبی مانند تیر کامپوزیت با بالارفتن حرارت، نقش بخش بتی پر رنگ‌تر می‌شود.

## ۷. نتیجه‌گیری

مدل اجزاء محدود تیر کامپوزیت با دال بتی با نتایج آزمایشگاهی صحبت‌سنجی و مشاهده شده است که نتایج حاصل از مدل اجزاء محدود با نمونه‌های آزمایشگاهی تطابق خوبی دارند. نتایج پژوهش نشان داد که افزایش شماره‌ی تیر لانه زنوری به علت افزایش سختی خشی تیر، موجب کاهش تغییرمکان وسط دهانه‌ی تیر کامپوزیت می‌شود و تیر تا دمای بالاتری مقاومت می‌کند و علاوه بر این با افزایش حرارت، نقش بخش فولادی تیر کامپوزیت کاهش و اهمیت بخش بتی برای مقاومت در برابر حرارت افزایش می‌یابد. همچنین مشاهده شد که سیستم سقف کامپوزیت با فولاد و بتون معمولی ساختمانی امکان مقاومت در حرارت بیشتر از  $80^{\circ}\text{C}$  درجه‌ی سانتی‌گراد را ندارد، چرا که تیر کامپوزیت در این دما بدون افزایش نیرو دچار تغییرشکل‌های بزرگی می‌شود.

سختی آن نیز افزایش می‌یابد و لذا با افزایش حرارت میزان سختی در تیرهای سنگین تر نسبت به تیرهای سبک تر کمتر کاهش می‌یابد و نتیجه آنکه تحت بار فقلی پکسان و حرارت پکسان سیستمی که سختی بیشتری دارد، تغییرمکان کمتری را بروز می‌دهد.

## ۳.۶. بررسی تغییرات ظرفیت باربری تیر کامپوزیت

در این بخش هدف تعیین تغییرات ظرفیت و مقاومت نمونه‌ها در ترازهای مختلف حرارتی است. بدین منظور  $4$  تراز حرارتی مختلف،  $20^{\circ}\text{C}$  درجه،  $35^{\circ}\text{C}$  درجه،  $70^{\circ}\text{C}$  درجه و  $80^{\circ}\text{C}$  درجه‌ی سانتی‌گراد انتخاب شده است. در این قسمت نیز از تحلیل کوپله‌ی مکانیکی - حرارتی بهره‌گرفته شده است و در هر یک از موارد، ابتدا نمونه تا تراز موردنظر حرارت داده شده و سپس در همان تراز، نمونه بازگذاری شده و نمودار نیرو - تغییرمکان نمونه به دست آمده است. نتایج ارائه شده در این بخش در شکل ۵ نشان داده شده‌اند. در نمودارهای ارائه شده، ظرفیت نیرو - تغییرمکان تیرهای کامپوزیت بررسی شده در ترازهای مختلف حرارتی مورد توجه قرار گرفته است. براساس نتایج حاصل از تحلیل می‌توان به این موارد اشاره کرد که در ترازهای حرارتی بالاتر میزان تغییرشکل‌های نمونه‌ها به طرز قابل توجهی افزایش یافته و این افزایش تا جایی ادامه داشته است که زوال مصالح در حرارت‌های بالا نشان دهنده‌ی این است که با افزایش حرارت، سختی نمونه‌ها به شدت کاهش یافته و با نیروی اندک، تغییرمکان‌های بزرگی ایجاد شده است. همچنین مشاهده شده است که ظرفیت نیرویی تیرهای کامپوزیت (بیشینه‌ی نیروی قابل تحمل سیستم)، که یکی از معیارهای اصلی برای طراحی سقف‌های کامپوزیت است، با افزایش حرارت به شدت کاهش یافته است. این مسئله

## پانوشت‌ها

1. embeded region constraint
2. convergence test

## منابع (References)

1. Lawson, R.M. "Behaviour of steel beam-to-column connections in fire", *Struct. Engr.*, **68**(14), pp. 263-71 (1990).
2. Bailey, C. "Indicative fire test on a cellular and solid web steel beam", Manchester Centre for Civil and Constructional Engineering (May 2003).
3. Wald, F., Simoňes da Silva, L., Moore, D.B., Lennon, T., Chaldna, M., Santiago, M. and et al. "Experimental behavior of a steel structure under natural fire", *Fire Safety Journal*, **41**(7), pp. 509-522 (2006).
4. Wald, F., Pelouchová, A., Chlouba, J. and Strejček, M. "To fire design of cellular beams", *Natural hazards Journal of Czech Republic*, pp. 85-92 (2009).
5. Saedi Daryan, A. and Yahyai, M. "Modeling of bolted angle connections in fire", *Fire Safety Journal*, **44**(7), pp. 976-988 (2009).
6. Saedi Daryan, A. and Yahyai, M. "Behavior of welded top-seat angle connections exposed to fire", *Fire Safety Journal*, **44**(4), pp. 603-611 (2009).
7. Saedi Daryan, A. and Bahrampoor, H. "The study of behavior of Khorjini connections in fire", *Fire Safety Journal*, **44**(4), pp. 659-664 (2009).
8. Hasanpour Ghamsari, B. "Study of behaviour of semi rigid connections at elevated temperatures", MS Thesis, K.N. Toosi University of Technology, Tehran, Iran (2012).
9. Yahyai, M. and Hasanpour Ghamsari, B. "Behaviour of continuous beam to column connections in post earthquake fire", 15th World Conference on Earthquake Engineering, Lisbon, Portugal (24-28 September 2012).
10. Khashayar, N. "Behaviour of composite slab at elevated temperatures", MS Thesis, K.N. Toosi University of Technology, Tehran, Iran (2012).
11. Nadjaia, A., Vassartb, O., Alib, F. Talamonab, D., Al-lamb, A. and Hawesb, M. "Performance of cellular composite floor beams at elevated temperatures", *Fire Safety Journal*, **42**(6-7), pp. 489-497 (2007).
12. ASTM E119-05a, Standard Test Methods for Fire Tests of Building Construction and Materials (2007).
13. ISO834, Fire Resistance Tests-Elements of Building Construction (2009).
14. Euro code 3, *Design of Steel Structures, Part 1.2: General Rules Structural Fire Design (Drafts)*, Document CEN, European Committee for Standardization (2010).